

ударной волны в воздухе 23 км/сек (при взрыве ТНТ начальная скорость ударной волны в воздухе ~ 7.5 км/сек). В случае определенной таким же образом энергии, выделившейся в форме взрыва на поверхности преграды при ударе сгустка по преградам из парафина и вольфрама, величина энергии составила всего 2.3 и 3.5 г ТНТ соответственно [4].

Таким образом, используя встречное столкновение масс вещества, движущихся со скоростью 24 км/сек, в лабораторных условиях получен взрыв с объемной концентрацией энергии, в 75 раз превышающей концентрацию энергии взрывчатого вещества типа ТНТ.

Авторы благодарят А. М. Калугина за помощь в проведении опытов.

Поступила 17 VI 1971

ЛИТЕРАТУРА

1. Гопкинс Г. Динамические неупругие деформации металлов. М., «Мир», 1964.
2. Орленко Л. П. Поведение материалов при интенсивных динамических нагрузках. М., «Машиностроение», 1964.
3. Седов Л. И. Методы подобия и размерности в механике. М., Гостехиздат, 1957.
4. Русаков М. М., Лебедев М. А. О выделении энергии при моделировании метеоритного удара. Космические исследования, 1972, т. 10, № 1.

УДК 536.423.1 : 532.526

ОПТИЧЕСКИЙ МЕТОД ИССЛЕДОВАНИЯ МЕХАНИЗМА ТЕПЛООБМЕНА ПРИ ПУЗЫРЬКОВОМ КИПЕНИИ

B. И. Бараненко, Г. Ф. Смирнов

(Николаев—Одесса)

В статье приводятся результаты экспериментального исследования механизма теплообмена при кипении воды с помощью дифракционного лазерного интерферометра. Показано, что обработка интерферограмм позволяет получить локальные количественные характеристики процесса, определить масштаб температурных пульсаций в зоне действия центра парообразования.

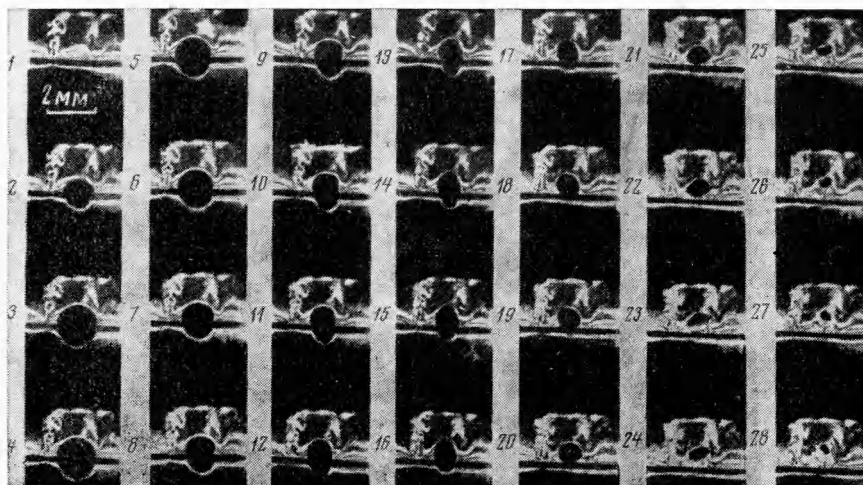
В работах [1–3] для изучения механизма теплообмена при кипении использовались оптические методы. Однако полученные в этих работах результаты носят в основном качественный характер.

В [4] дано описание дифракционного интерферометра, позволяющего производить как качественное, так и количественное изучение процессов, происходящих в тепловом пограничном слое при кипении.

В [5, 6] изложены результаты исследования профилей температур в тепловом пограничном слое. Показано, что по интерферограммам теплового пограничного слоя можно рассчитывать с точностью до 20% локальные распределения температур, а следовательно, и локальные тепловые нагрузки.

Ниже приводятся результаты экспериментального исследования механизма теплообмена при пузырьковом кипении воды с недогревом в свободном объеме в условиях атмосферного давления. Опыты проводились с помощью фото- и киносъемок на экспериментальной установке, описанной в [4]. Фотосъемка производилась с масштабом увеличения в 3 \div 4 раза фотоаппаратом «Зенит-3М», киносъемка в натуральную величину — скоростной кинокамерой СКС-1. Из-за большего масштаба увеличения фотосъемка позволила получать более четкие интерферограммы, чем киносъемка. Поэтому для количественной обработки использовались интерферограммы, полученные при фотосъемке. Нагревательные элементы изготавливались из проволоки диаметром 0.07 \div 0.4 мм или тонких лент шириной 0.7 \div 1.5 мм и толщиной несколько сотых миллиметра. В ряде опытов ленты наклеивались на основание из стеклотекстолита. Материал нагревателей — платина или никель.

На фиг. 1 приведена кинограмма процесса пузырькового кипения воды с недогревом на платиновой проволоке диаметром 0.15 мм, скорость съемки 7700 кадров в сек, тепловой поток $q_1 = 0.39 \cdot 10^6 \text{ вт/м}^2$, температура стенки 130° С, температура жидкости 80° С. Светлый фон на кадрах кинограммы — тепловой пограничный слой. Темные линии в тепловом пограничном слое — интерференционные полосы. На кинограмме зафиксировано действие двух центров парообразования. Левый центр на ки-



Фиг. 1

граммме представлен в виде струи перегретой жидкости. Фазы роста, отрыва и конденсации пузыря для данного центра парообразования отсутствуют. Появление пузыря в правом центре фиксируется на втором кадре. На кадрах 2 + 4 происходит рост пузыря, на кадрах 5 + 21 — конденсация до момента отрыва, а на кадрах 22 + 28 — конденсация после отрыва.

Рассмотрение всех кадров кинограммы (~ 5000 кадров) позволило установить следующее:

1. Характер процесса в каждом действующем центре парообразования воспроизводится в пределах одного режима. В таблице приведены результаты обработки кинограммы.

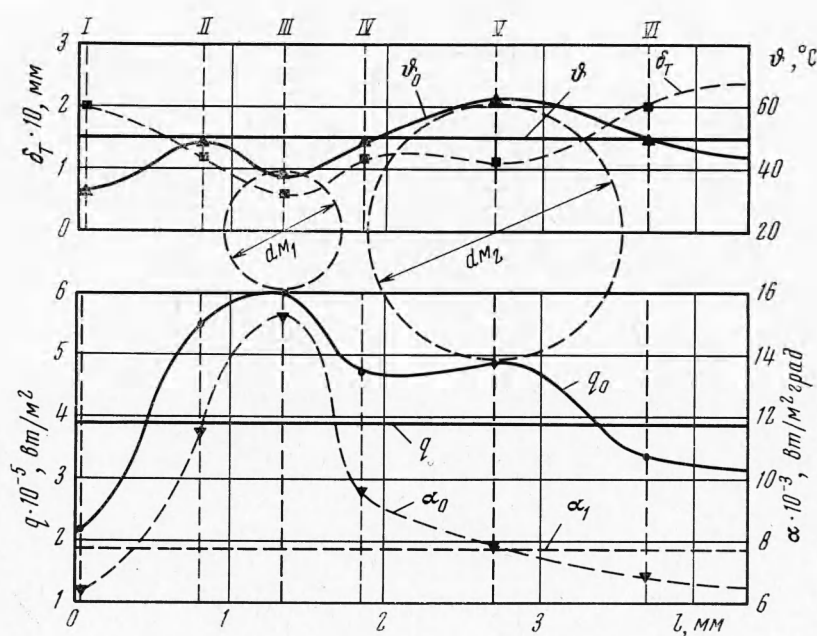
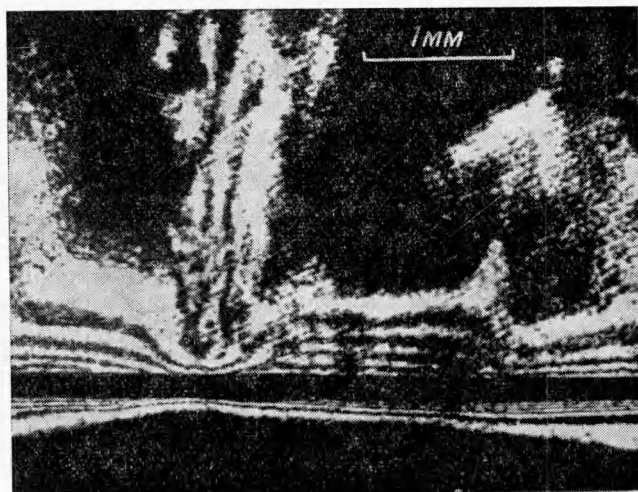
	1	2	3	4	5	6			
	$d_M \cdot 10^3, \text{ м}$	$\tau_* \cdot 10^3, \text{ сек}$	$\tau_p \cdot 10^3, \text{ сек}$	$\tau_o \cdot 10^3, \text{ сек}$	количество	d_M	τ_*	τ_p	τ_o
Левый	0.75	1.26	0.3	8.6	46	4	2	3	0.3
Правый	1.7	5.4	0.3	68	8	10	4	6	4

Из таблицы видно, что среднеквадратичная ошибка определения основных характеристик действующих центров парообразования не превышает 10%. В таблице: 1 — максимальный диаметр d_M ; 2 — время жизни — время от момента зарождения до момента захлопывания пузыря; 3 — время роста — время, за которое пузырь достигнет максимального размера; 4 — период выжидания — время от захлопывания предыдущего пузыря до зарождения следующего; 5 — количество обработанных пузырей; 6 — среднеквадратичная ошибка. При определении времени жизни замерить время до полной конденсации не удается, так как не позволяет масштаб увеличения. Поэтому определяемое время жизни — это время роста и конденсации пузыря до размеров 0.1 + 0.2 от максимального.

2. В период выжидания в месте действия центров парообразования устойчиво существуют струи перегретой жидкости, которые образуются в результате отрыва и конденсации пузырей. Поскольку время рассеивания струи больше времени выжидания, на кинокадрах струи перегретой жидкости фиксируются как непрерывные.

3. Конденсация пузыря начинается с его боковых поверхностей, примыкающих к нагревателю. Отрывной диаметр пузыря меньше максимального. Форма пузыря близка к сфере в момент роста и отклоняется от нее при конденсации.

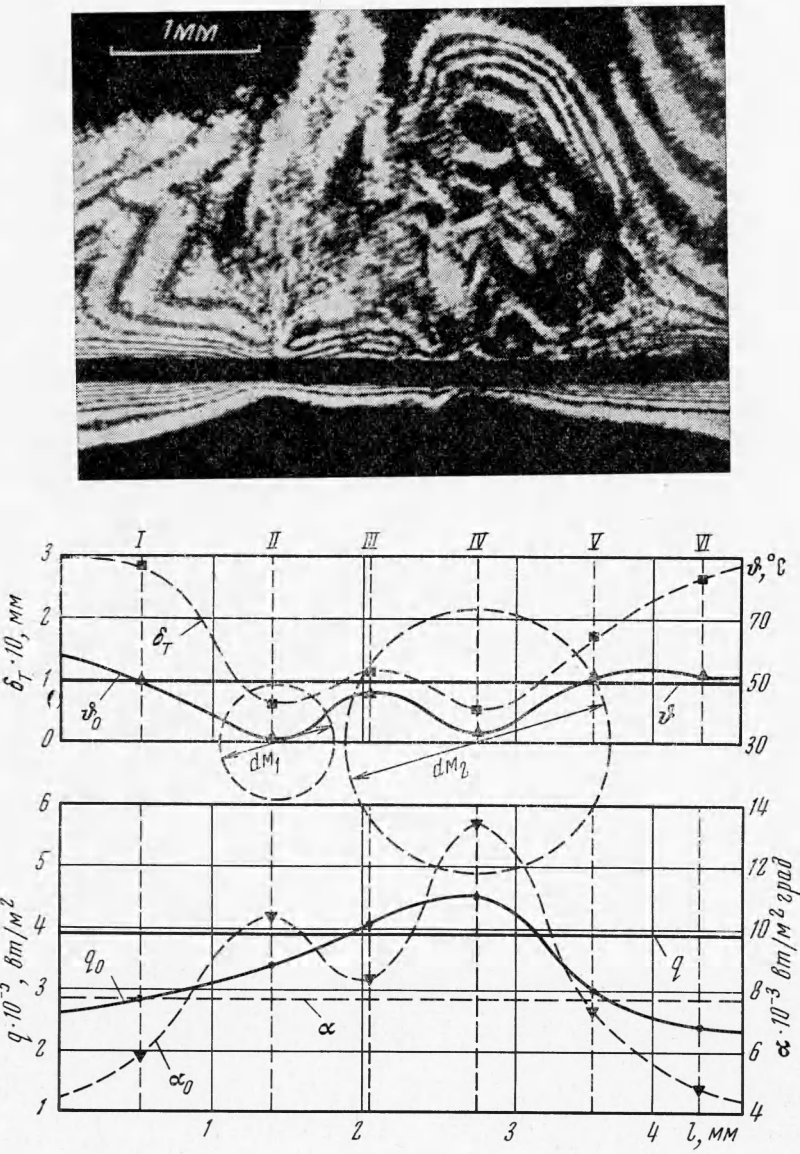
4. Появление пузырей приводит к изменению структуры теплового пограничного слоя. В период выжидания тепловой пограничный слой восстанавливается, в момент роста и конденсации пузыря — разрушается.



Фиг. 2

На фиг. 2, 3 приведены интерферограммы, заснятые при том же режиме, что и кинограмма на фиг. 1. На фиг. 2, а показана фотография — интерферограмма кадра № 1 кинограммы. На фиг. 2, б — распределение локальных тепловых потоков q_0 , температурных напоров ϑ_0 , коэффициентов теплоотдачи α_0 и толщин теплового пограничного слоя δ_T на нижней образующей проволоки. На фиг. 3, а — фотография — интерферограмма кипения воды с недогревом кадра № 28 кинограммы. На фиг. 3, б —

распределение локальных тепловых потоков q_0 , температурных напоров Φ_0 , коэффициентов теплоотдачи α_0 , толщин теплового пограничного слоя δ_T для фотографии фиг. 3, а. Так как время экспозиции кадра при фотосъемке больше, чем при киносъемке, то интерферограммы фиг. 2, 3 соответствуют 33 кадрам кинограммы, показанной на фиг. 1. Поэтому паровые пузыри на интерферограммах не фиксируются.

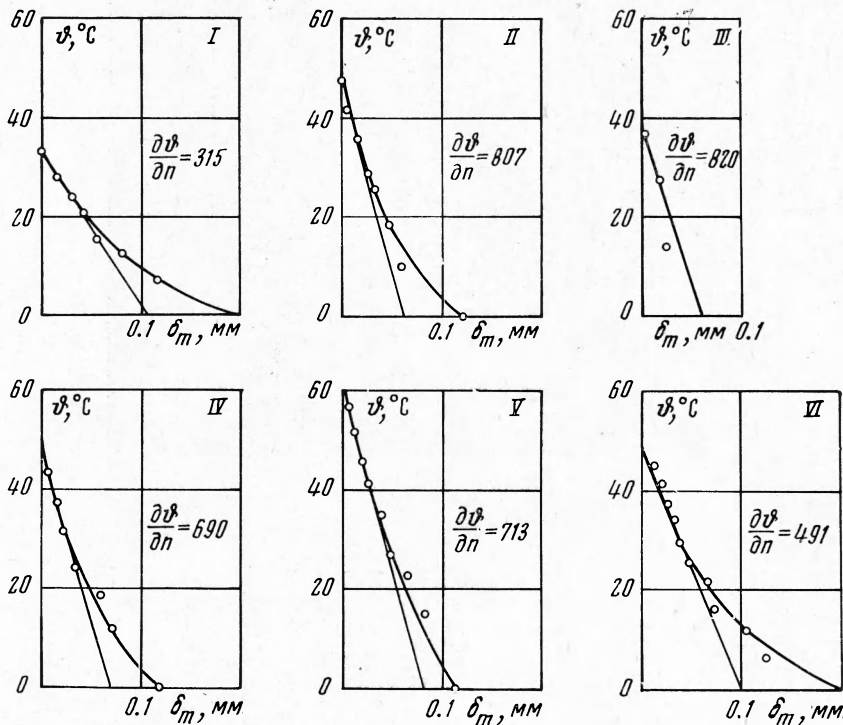


Фиг. 3

Интерферограмма фиг. 2 соответствует примерно первому и более ранним кадрам кинограммы, а интерферограмма фиг. 3 — последнему и более поздним кадрам.

Под интерферограммами приведены локальные значения толщины теплового пограничного слоя со стороны нижней образующей нагревателя, температурного напора, удельного теплового потока и коэффициента теплоотдачи. Толщина теплового пограничного слоя определялась как расстояние от нижней образующей нагревателя до края последней светлой интерференционной полосы. Температурный напор, удельный тепловой поток и коэффициент теплоотдачи получены путем расчета интерферограммы со стороны нижней образующей нагревателя.

Интерферограммы позволяют определить поле показателей преломления в тепловом пограничном слое. Переход от поля показателей преломления к температурному производится с помощью известной формулы Лорентц — Лоренца. Методика расчета интерферограммы приведена в [4]. В результате расчетов были получены температурные профили в тепловом пограничном слое. Профили, соответствующие интерферограмме фиг. 2, приведены на фиг. 4, а интерферограмме фиг. 3 — на фиг. 5.



Фиг. 4

Локальный температурный напор определялся как разность между температурой слоя жидкости на первой от нагревателя интерференционной полосе и температурой жидкости в объеме. Локальный удельный тепловой поток был найден путем графического дифференцирования профилей температур с использованием уравнения Фурье

$$q_0 = -\lambda \frac{\partial \theta}{\partial n} \quad (1)$$

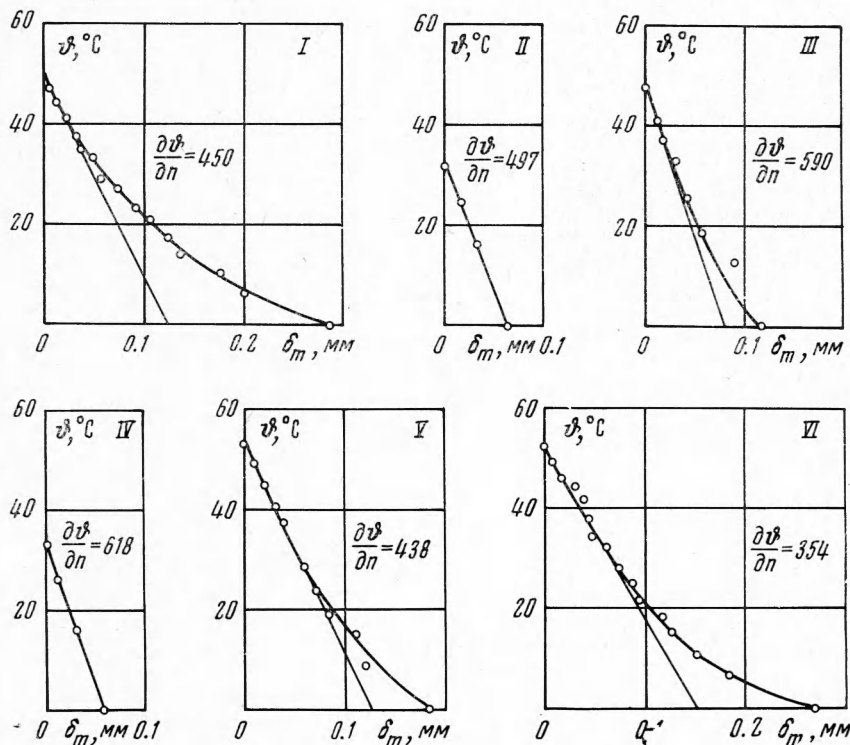
где q_0 — локальный удельный тепловой поток, λ — коэффициент теплопроводности жидкости, $\partial \theta / \partial n$ — градиент температуры у нагревателя. Значения градиентов температур в град/мм для различных по длине нагревателя сечений приведены на фиг. 4, 5. Номера сечений обозначены римскими цифрами и проставлены на фиг. 2, 3; линейный масштаб графиков совпадает с масштабом соответствующей фотографии. Локальный коэффициент теплоотдачи определялся как отношение локального теплового потока к соответствующему температурному перепаду

$$\alpha_c = \frac{q_0}{t_0 - t_*} = \frac{q_0}{\theta_0} \quad (2)$$

где t_0 — локальная температура нагревателя, рассчитанная по интерферограмме, t_* — температура жидкости в объеме, α_0 — локальный коэффициент теплоотдачи. Локальная температура нагревателя принималась равной температуре на первой от нагревателя интерференционной полосе.

Анализ локальных характеристик теплообмена, приведенных на фиг. 2—5, позволяет сделать следующие выводы:

1. Толщина теплового пограничного слоя, локальные температурный напор, удельный тепловой поток и коэффициент теплоотдачи изменяются в значительных пределах по длине нагревателя. Так, по данным фиг. 2, 3 толщина теплового пограничного слоя изменяется в 5.3 раза, температурный напор — в 2 раза, удельный тепловой поток — в 3 раза, коэффициент теплоотдачи — в 2.6 раза на длине нагревателя в 4 мм.



Фиг. 5

2. Наиболее интенсивно теплоотдача осуществляется в местах действия центров парообразования. Зона действия центра равна 1÷1.5 максимальным диаметрам пузыря. На фиг. 2, 3 максимальные диаметры пузырей показаны пунктирными окружностями.

3. В местах действия центров парообразования профили температур близки к линейным.

4. Тепловой пограничный слой восстанавливается в большей степени в тех центрах, где образуются пузыри с большими диаметрами, а следовательно, и с большими периодами выжидания.

На фиг. 2, 3 прямыми пунктирными и сплошными линиями показаны средние значения характеристик теплообмена, полученные по электрическим замерам. Из фигур видно, что локальные характеристики теплообмена согласуются со средними значениями.

Кино- и фотосъемка при кипении воды на проволоках других диаметров и пластинах дают такую же качественную картину. Увеличение недогрева до температуры насыщения приводит к уменьшению диаметров пузырей и времени их жизни. Однако и в этом случае в месте действия центров наблюдаются горячие струи жидкости. На пластине в стадии роста пузыри по форме близки к полусфере. Интерферограммы, полученные при кипении воды на пластинах, расшифровать сложнее, чем интерферограммы, полученные при кипении на проволоках. Для пластин шириной 0.7÷1.5 мм основная трудность при расшифровке заключается в определении геометрической длины хода светового луча в тепловом пограничном слое.

[Поступила 17 IV 1972]

ЛИТЕРАТУРА

1. Isshiki N., Tamaki H. Photographic study of boiling heat transfer mechanism. Bulletin JSME, 1963, vol. 6, No. 23, p. 505.
 2. Якобс, Шейд. Измерение температуры в процессе образования пузырьков при кипении в большом объеме. Теплопередача, Тр. Америк. об-ва инж.-механ., 1969, № 2.
 3. Бихар М., Курто М., Рик Р., Семер Р. Основные проблемы процесса кипения жидкости, недогретой до температуры насыщения, при наличии и отсутствии растворенных газов. В сб. «Достижения в области теплообмена», М. «Мир», 1970.
 4. Бараненко В. М., Кардашев Ю. Д. К вопросу использования оптического метода для исследования теплообмена при кипении. Тр. Николаевск. кораблестроительного ин-та, 1970, вып. 33.
 5. Бараненко В. И. Экспериментальное исследование теплового пограничного слоя на тонких цилиндрических нагревателях при естественной конвекции в воде. Тр. Николаевск. кораблестроительного ин-та, 1970, вып. 37.
 6. Смирнов Г. Ф., Бараненко В. И. Экспериментальное исследование профилей температур в тепловом пограничном слое при кипении жидкости в свободном объеме. Инж.-физ. ж., 1970, т. 21, № 2.
-

Технический редактор Э. Ф. Бунова

Сдано в набор 2/XII-1972 г. Т-01454. Подписано к печати 7/II-1973 г. Тираж 1935 экз.
Зак. 1470. Формат бумаги 70×108^{1/16}. Усл. печ. л. 15,4. Бум. л. 51/2. Уч.-изд. л. 14,3.

2-я типография издательства «Наука». Москва. Шубинский пер., 10